

京都大学 工学部 正員 平岡 正勝
 京都大学 工学部 正員 ○村上 忠弘
 京都大学 工学部 学生員 富田 重幸

はじめに　近年下水汚泥の處理量の増加に伴って、種々の處理法が研究開発されている。そのような處理法の一つとして、熱処理も研究開発され、わが国でも、すでに実プラントも稼動して数年が経ち大きな役割を果している。しかし、以前から云われているように、沈降性、脱水性の改善、ケイ量の減少などの有利な面と、固体物の液相側への溶出、悪臭などの不利な面がある。本研究では図

-1 の反応器中の溶出現象と、脱り液処理を生物処理と仮定して、ゲル干過による分子量分布とTOD, TS, DS, COD_cなどの示標を用いて研究した。試料は京都市鳥羽下水処理場の初水/余剰の農業汚泥で、処理条件は表-1に示した通りである。処理に用いたオートクレーブ(内容積1L、重気加熱)の昇温は図-2の通りである。

1. 溶出現象モデルの実験結果と考察

汚泥の熱処理による溶出の反応モデルを立てる場合に、単に溶出する状況を定式化することだけが目的の場合は従来のような、固形物質(SS)と溶解性物質(DS)という二成分系のモデルを立てれば十分と思われる。しかし、熱処理脱り液はその着色の現象を伴てもわかるように、反応の進行に伴って溶解性物質は質的にかなり変化しているものと考えられる。ゆえに、このよう

な点をモデルに組み込めるようにすることが必要不可欠となる。本研究では溶解性物質を、比較的大きな分子量のものと、小であるものの二つの部分に分割して考え、生物処理アセスメントにおける除去特性が、分子量の大小によってある程度左右されるであろうという見込みとともに、これらをそれぞれ独立した状態変数として扱うことによってこの課題を取り組むものである。溶出モデルとしては以下のようない角型反応モデルを探

$$\begin{array}{l} \text{ES} \xrightarrow{k_1} D_1 [\text{ES}] ; \text{ 汚泥固形物質のうち溶出可能な部分の全汚泥物質に対する比 } \\ \downarrow k_2 [D_1] ; \text{ 分子量大の部分に属する溶解性物質の全汚泥物質に対する比} \\ \xrightarrow{k_3} D_2 [D_2] ; \text{ 分子量小の部分に属する溶解性物質の全汚泥物質に対する比} \end{array}$$

図-3は溶出現象を溶解性物質のTOD値の増加を用いて表わした。5BFとは熱処理脱り液を東洋紡紙NO.5Bで干過して得た干液、MFとは5BFを平均孔径0.45μのメンブレンフィルターによる干液である。また、図-4は初期脱り液(5BF)の透過率の経時変化を示したものである。また、図5～図7はこれらの各熱処理条件で処理された熱処理汚泥MFの分子量分布はセブンクイックスG-25によるゲル干過法を用いて得たものである。(図は紙面の都合で大分省略したので、不足分は表記時にスライド等の方法で補足する。)

横軸に廃液流量を用いている。セブンクイックスによる分子分画では試料は分子量の大きいものから順次抽出されてくるが、これらの図から、熱処理汚泥溶解性物質の分子量分布は比較的分子量の大きな(廃液量にして80ml

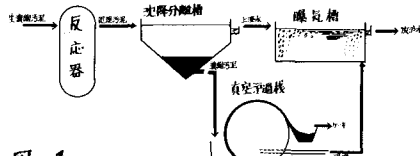


図-1

汚泥熱処理アセスの想定フローシート

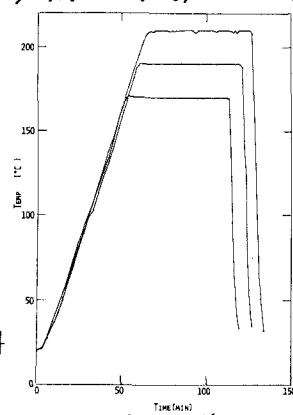


図-2 昇温曲線

$$\begin{aligned} \frac{d[\text{ES}]}{d\theta} &= -(k_1 + k_3)[\text{ES}] \\ \frac{d[D_1]}{d\theta} &= k_1[\text{ES}] - k_2[D_1] \\ \frac{d[D_2]}{d\theta} &= k_2[D_1] + k_3[\text{ES}] \end{aligned}$$

前後の領域)ピーク1と比較的小分子量の小さな(脱脂液量にして160 ml 前後の領域)ピーク2との2ヶ所にピークを有していることがわかる。そして、このピークの高さは熱処理反応の進行に伴って逐次変化している。これらのピークの挙動の意味は脱脂液量130mlを境界として、それより分子量の大きな部分をD1'、小さな部分をD2'として、この種類の時間的変化を見れば明らかになる。図-8へ図-9の210°Cの系列ではD1'は最初から減少しているが、これは210°Cに達するまでの昇温過程において、すでに減少の段階に入っているためと考えられる。なお、D1+D2は従来の二成分系モデルにあり[DS]の増加曲線に対応している。とくに、漏出モデルの状態変数[ES][D1][D2]は重量基準のものを使用しているので、TODを指標として得られた分子量分布を用いて、[D1][D2]を決定するには[DS]と[TOD]との換算係数が必要となる。図-10は[TOD]と[DS]との相関係数を示したもので、換算係数は最小自乗法により $\gamma = 1.936$ を得た。この係数を用いて $[D1]_{TOD}$, $[D2]_{TOD}$ を $[D1]$, $[D2]$ に換算したものが図-11である。ここで一点錆線は[DS]中の漏出しえない部分を示している。このデータをもとにして三角型反応モデルのparameter estimationを行なった結果、表-2の結果を得た。ただし、この値は厳密には極値ではない。その理由は k_3 に関する値が他のものに比べて十分小さかったため、あえて三角型にしなくとも逐次反応型 [ES] \rightarrow [D1] \rightarrow [D2] として十分に漏出現象を表現し得るであろうとの推論から $k_3=0$ としたためである。しかし、データ自身のもつ誤差の程度に応じたbest-fitができれば、それで十分とみなすべきであろう。図-12はこれらのパラメータを用いた時の理論線ヒストグラムとデータヒストグラムを比較したものである。図-13は、これらの速度定数の熱処理温度依存性を示したものであり、最小自乗法によって下の式を得た。
 $K_1(T) = -0.0381 + 0.000325T$
 $K_2(T) = -0.0984 + 0.000630T$
 $K_3(T) = 0.000$

2. 生物処理モデルに対する実験と考察

熱処理汚泥脱り液の生物処理特性を得るために行なったものである。この目的は $\star 1$ にはTOD値を示標とした基質除去曲線を得るために、 $\star 2$ には生物処理の前後にあり分子量分布を知るために2通りの実験を行った。しかし、 $\star 2$ の方は試料の減量濃縮が困難で、分り水の方のTOD物質が若干逃げたため、データとしては不十分な点がある。実験に使用した活性汚泥は人乳ミルクを用いて一ヶ月間驯致した後に、2つに分けて、一方は熱処理汚泥脱り液で4ヶ月間驯致し、一方は人乳ミルクで4ヶ月間驯致したものである。各々の槽のMLSSは表-3のようである。図-14は曝気によるTOD物質の除去の経過を示したものである。この図からもわかるように、脱脂液による曝気の効果があらわされている。しかし、いざれの場合にも、熱処理汚泥脱り液中には生物によって処理しえない部分がかなり含まれている。

図-3 TODによる漏出の経時変化

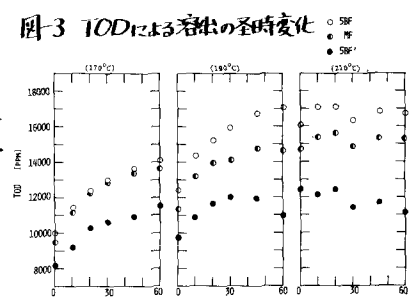


図-4 热処理汚泥脱り液の透湿度

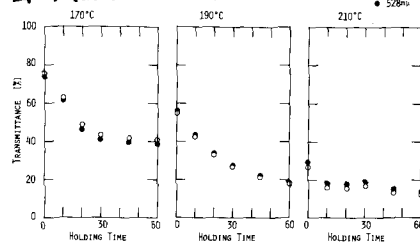


図-5

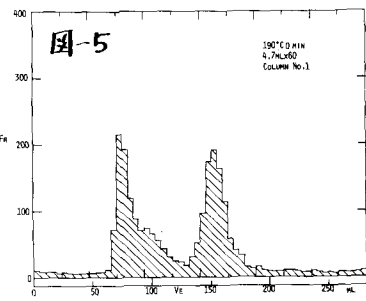


図-6

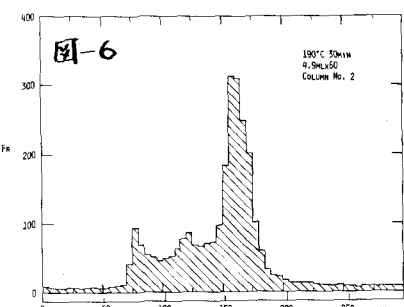
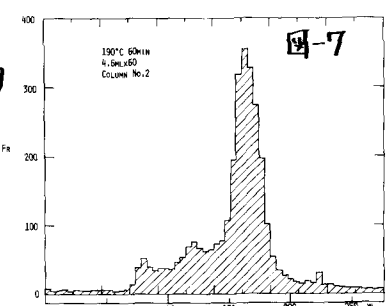


図-7



なお図中の曲線はTOD除去速度式を用いた反応型としてのbest-fit曲線である。反応次数および反応速度定数は図中に示した通りである。また、図-15は生物処理前後における熱処理脱水液の分子量分布を示したものであるが、TOD除去率の基質分子量に対する依存性は当初予想していた程に顕著ではなかった。しかし、廃液流量130mlを境界として底処理性の差がみとめられたため、この値をD1' と D2' の境界点とした。

あわせて 本研究では、下水汚泥の熱処理プロセスの脱水液の処理を生物処理として想定しているが、分子量分布を用いて評価していくので、他の処理プロセスを用いる場合にも適用できると考えている。

本研究は、上記の3名と武田信生氏、戸高広明氏との共同で行なったものである。 表-2 三角型反応モデルのパラメーター推定値

TEMP	k1	k2	k3	評価値
170°C	0.0170	0.0088	0.000	0.02211
190°C	0.0240	0.0210	0.000	0.03148
210°C	0.0300	0.0340	0.000	1.35286

図-8 TODによるD₁, D₂の経時変化(190°C)

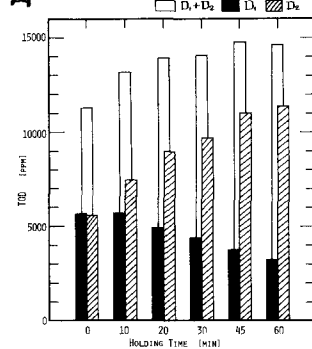


図-9 TODによるD₁, D₂の経時変化(210°C)

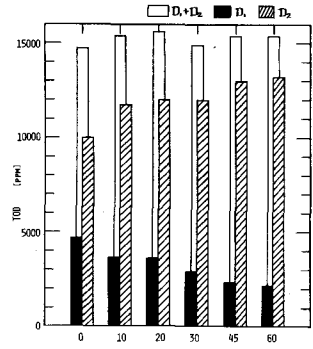
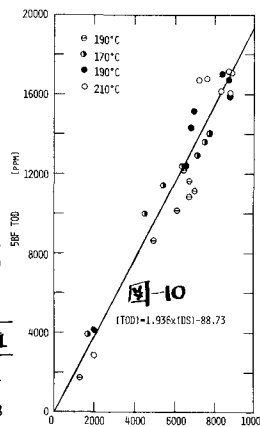
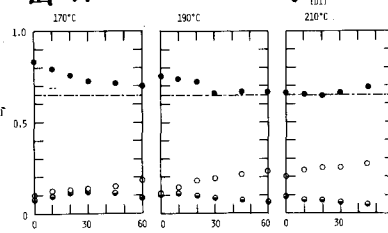


図-11



活性汚泥の種類	MLSS濃度	
	INITIAL	FINAL
脱水液による劇酸汚泥	5716	5846
スキムミルクによる劇酸汚泥	6790	7146

